

## طراحی و پی‌ریزی مدل پیشینی احتمال رخداد خسارت گرمایزدگی در زیتون

### پژوهش موردي : منطقه طارم عليا

خسرو غربيي<sup>\*</sup>، دکتر علی اصغر زيانلو<sup>\*\*</sup>، حميد كريمي<sup>\*\*\*</sup>  
بازنگري: ح. ر (فراوند)

#### چكیده

خسارت گرمایزدگی در گیاه زیتون، به کاهش عملکرد محصول آن می‌انجامد. از سویی، پیشینی زمان رخدادن خسارت نیز، شناخت مناطق و ارقام سازگار و سرانجام، اطمینان از تولید را بدنبال خواهد داشت. در این زمینه، با به کارگیری داده‌های هواشناسی و تعیین نخستین روز ژولیوسی از دماه‌های خسارتزا در مرحله گلدهی زیتون، می‌توان احتمال رخداد (وقوع) خسارت را محاسبه کرد. این پژوهش نيز در همين راستا، برای پیشینی کردن احتمال رخداد خسارت گرمایزدگی، با برگزيدن چهار رقم عمده زیتون، در برگيرنده: زرد، روغنى، آربكين و كرونانيكى، در منطقه طارم عليا زنجان (منطقه عمده کشت زیتون) به بررسی و تحليل آنها طی ۱۹ سال آمار دماي، پرداخته است. نتایج به دست آمده در اين باره نشان می‌دهد که تاریخهای تمام گل آنها، به ترتیب تاریخهای ژولیوسی ۱۳۳، ۱۳۴ و ۱۳۵ را به خود اختصاص داده است. آنگاه با استفاده از نرم‌افزارهای Fit و Easy Fit Mini، Tab به تحليل داده‌ها پرداخته شد که بر اين اساس، بيشترین احتمال رخداد خسارت، مربوط به رقم زرد با شدت ضعيف و دوره بازگشت سالانه برابر با  $95/3$  درصد بوده و كمترین احتمال رخداد خسارت گرمایزدگی نيز، مربوط به رقم كرونانيكى در سطح شديد و دوره بازگشت هر  $3/8$  سال، برابر با  $26/2$  درصد، به دست آمده است. می‌توان چنین گفت که هر يك روز اختلاف در زمان تمام گل، برابر با حدود يك درصد، احتمال رخداد خسارت را تغيير می‌دهد. از همين‌رو، با توجه به خصوصитеهای هر رقم، بویژه تاریخهای تمام گل می‌باید، افزون بر مطالعه اين گونه خصوصитеها، شرایط اقلیمي فرآيند منطقه و دوره بازگشت عوامل خطر در بيمه، محاسبه، و سيس امكان توسعه درختان زیتون، توصيه شود.

#### كليدوازه‌ها:

زيتون، تمام گل، خسارت گرمایزدگی، مدل‌سازی، پیشینی، بيمه.

## مقدمه

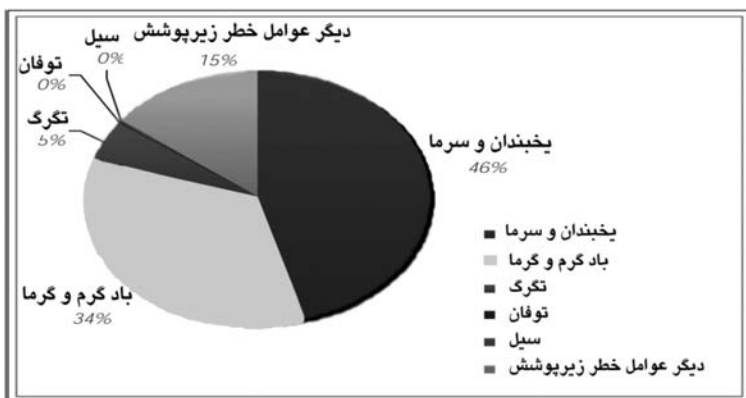
یکی از عاملهای بلاهای طبیعی که هر ساله به محصولات کشاورزی ایران، خسارت وارد می‌کند، پارامترهای دمایی است. رویارویی با این عاملها، اگرچه چالشی فراگیر و جهانی است؛ ولی در کشاورزی ایران، به دلیل نوع اقلیمی و هدر رفتن هنگفت هزینه‌های برگرفته از خسارت‌های قهری و طبیعی مبتنی بر آن باعث می‌شود که شناخت انواع گرمادگی و سرمادگی، بویژه برای انجام برنامه‌های پیشگیری، از جایگاه ویژه‌ای برخوردار باشد. برای نمونه، سرمای شدید رخداد در زمستان ۱۳۸۶ و گرمای زودرس بهاره در سال ۱۳۸۷، تأثیر بسیاری بر تولید محصولات کشاورزی داشت و از سویی نیز، مبالغ سنگینی غرامت پرداختی به خسارت‌دیدگان زیرپوشش صندوق بیمه کشاورزی، به بار آورد. این وضعیت از رویدادهای مهم و بسیار سبقه به شمار می‌آید و پیامدهای آن، به اندازه‌ای ناگوار بود که در بعضی از مناطق، درختان باقهایی مانند انگور، انار، زیتون و مركبات، هیچگونه باردهی یا تولیدی نداشتند.

افت درجه حرارت و رخداد یخ‌بندان (و همچنین، افزایش درجه حرارت، بویژه در زمان گلدهی) در مراحل مختلف رویشی برای درختان میوه (بسته به شدت آن و میزان مقاومت ارقام) همواره مخاطره‌آمیز است و می‌تواند، تولید محصول را با محدودیت جدی روبه‌رو کند. از آنجاکه سالانه خسارت‌های انبویی به باغداران از راه رخدادن پدیده‌های سرما و یخ‌بندان و همچنین، گرمادگی به محصولات، وارد می‌شود، باید راهکارهای مناسبی نیز برای کاهش دادن خسارت‌های برگرفته از این عوامل، یافته و ارائه شود. بنابراین می‌توان از یکسو با مطالعه و بررسی واحدهای سرمایی و گرمایی و فنولوژی گلدهی و از سویی دیگر، تاریخهای آغاز و پایان یخ‌بندانها و افزایش دمایها، مناسبترین ارقام مقاوم و یا متتحمل (به سرما یا گرما) در درختان میوه، بویژه زیتون را با کمترین خسارت، مشخص کرد.

برای جلوگیری از رخدادن خسارت‌های برخاسته از گرما، بویژه در زمان تلقیح گل، بایسته است که مناسبترین رقم از لحاظ زمان گلدهی و میزان مقاومت نسبت به گرما در دیگر مراحل فنولوژی درخت و همچنین، بهره‌گیری از مناسبترین روش مبارزه با افت درجه حرارت و یا افزایش آن، معرفی شود تا مجموعه این عوامل، به برنامه‌ریزی خرد و کلان کشاورزی در مقیاس محلی و ملی بینجامد. بنابراین با بررسی مسائل و پدیده‌های جوی، بویژه دمایهای حداقل و حداکثر، می‌توان دریافت که میزان تأثیرگذاری، بسیار متغیر است و می‌تواند امکان تولید را در هر منطقه، بهشت با مخاطره، روبه‌رو سازد. ولی پیشینی کردن دقیق زمان و درصد احتمال رخداد خسارت برآمده از سرما و یخ‌بندان و یا گرما و فراهم نشدن نیاز سرمایی در محصولات باغبانی، بویژه زیتون، به شناخت مناطق و ارقام سازگار و حفظ تولید محصول نیز، خواهد انجامید. بنابراین، اطمینان یافتن از بهینه‌سازی تولید محصول زیتون - مدیریت تولید - برنامه‌ریزی یارانه‌های دولتی (از جمله بیمه باقهای زیتون) - پیشینی محصول - بهینه‌سازی منابع انسانی و اقتصادی - راهبرد بازاریابی، سیاستهای کشاورزی و اقتصادی - نیاز به

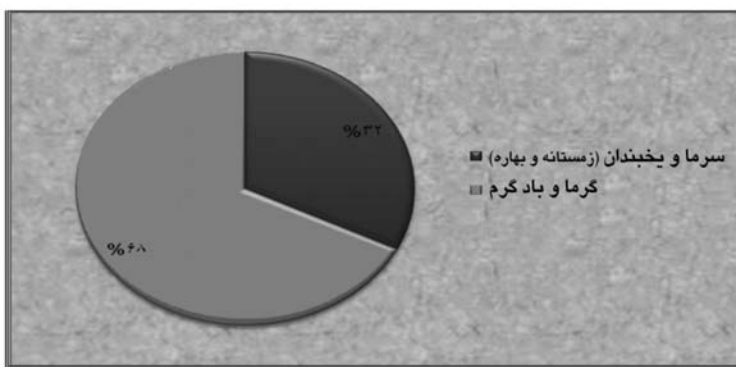


بهینه‌سازی منابع سرمایه‌گذاری در تولید زیتون، همگی نیازمند برآوردهای دقیق از زمان رخدادن خسارت (و در صورت امکان، شدت آن) با توجه به شرایط اقلیمی منطقه، خواهد داشت.<sup>(۶)</sup> همانگونه که نمودارهای شماره ۱ و ۲ نشان می‌دهد، پدیده گرما، مهمترین عامل خطر رخداده در منطقه مورد بررسی (طارم علیا) به شمار می‌آید و نمایانگر اهمیت بررسی و پژوهش در این زمینه است.



برگرفته از: منبع شماره ۲

نمودار شماره ۱: درصد سهم هریک از عوامل خطر زیرپوشش بیمه زیتون کشور  
در دوره ۸ ساله منتهی به سال ۱۳۹۱



برگرفته از: منبع شماره ۲

نمودار شماره ۲: درصد هریک از عوامل خطر اصلی  
در زیتون طی دوره ۸ ساله منتهی به سال ۱۳۹۱ (طارم علیا)

درجه حرارت، مهمترین عامل محیطی است که بر گلدهی زیتون، تأثیر می‌گذارد<sup>(۶)</sup>. در پژوهشی که از سوی مانکوسو و آتزارلو<sup>۱</sup> (۲۰۰۲) انجام گرفت، نمایان شد که در همه ژنتیکهای زیتون تیمار شده با گرما، میزان نشت یونی افزایش پیدا کرده است و برگها و شاخهها، به ترتیب در دمای نزدیک به ۴۸ و ۵۰ درجه سانتیگراد، آسیب می‌بینند. درجه حرارت‌های بالا، به دلیل آسیب رساندن به ساختار پروتئینی، تولید و بهره‌وری زیتون را کاهش می‌دهند. به طور میانگین، در ۴۸ تا ۵۰ درجه سانتیگراد، به ترتیب، برگها و شاخه‌ها آسیب می‌بینند. دماهای بالاتر از ۳۳°C گلهای را می‌سوزاند و طی ماههای اردیبهشت و خرداد، رشد بخشش‌های جوان را متوقف می‌کند.<sup>(۴)</sup> دماهای بالاتر از ۳۰°C زمانی که گل آذین آغاز به رشد می‌کند، سبب ریزش جوانه‌های گل می‌شود. درجه حرارت ۳۰°C و بیشتر نیز، به کاهش جوانه‌زنی دانه گرده و کاهش رشد لوله گرده در زیتون می‌انجامد<sup>(۹)</sup>. هنگامی که درجه حرارت به بیش از ۳۵°C برسرد، فتوسنتر متوقف می‌شود و در درجه حرارت بیش از ۵۵°C کوتیکول برگ، به طور برگشت‌ناپذیری خسارت می‌بینند. خسارت‌های برگرفته از درجه حرارت‌های بالا، وابسته به کمبود فشار بخار بالا، میان برگها و هوای پیرامون آنهاست و در زمان میوو دادن، موجب ریزش آن می‌شود. همچنین، درجه حرارت بالای ۳۰ درجه سانتیگراد، کلاله را خشک می‌کند و درجه حرارت‌های پایین، باعث کاهش سرعت رشد لوله گرده خواهد شد؛ ولی این تأثیرها به عاملهایی همچون رطوبت و میزان بارندگی و باد نیز، بستگی دارد<sup>(۱۴)</sup>. از سویی، دماهای بحرانی برای رخدادن پدیده‌های مختلف از جمله، یخیندان کشنده، بر اساس نوع گیاه و مرحله رشدی آن تغییرات زیادی می‌کند<sup>(۸)</sup>.

اوحدی در سال ۱۳۸۴ در پژوهشی، به بررسی کمی خطر سرمازدگی در مراحل مختلف فنولوژی سبب در مناطق کرج، گلستان و سمنیر پرداخت و رابطه میان عملکرد محصول، سرما و یخیندان را در مراحل مختلف فنولوژی بررسی کرد. وی نشان داد، یکی از پارامترهای سرما و یخیندان، تعداد روزهای یخیندان است و اینکه تعداد روزهای یخیندان در ماههای رشد و نمو فعال گیاهی (مارس، آوریل، می) که گیاه نسبت به پدید آمدن سرما حساس است، بسیار اهمیت دارد. افزون بر این نتیجه گرفت، بسته به تداوم یخیندان و زمان پدیدار شدن آن نسبت به مراحل فنولوژی، میزان خسارت سرمازدگی می‌تواند، اندک و یا بسیار چشمگیر باشد.

میچالسکا<sup>۲</sup> (۱۹۸۶) با پژوهش پیرامون احتمال زمانی رخدادن یخیندانهای دیررس بهاره در هلند، تاریخ کاشت مناسب ذرت در بهار را مورد بررسی قرار داد. وی در این مطالعه، تأثیر دمای خاک را نیز، در تعیین تاریخ کاشت ذرت مورد بررسی قرار داده است. در پژوهشی دیگر، ویلگولاسکی<sup>۳</sup> (۱۹۹۹)، به بررسی و پژوهش پیرامون آتالیزهای شیمیایی و



مکانیکی خاک به همراه دیدبانی هواشناسی برای مدت ۳ سال در مکانهایی در امتداد گراديابن اقیانوسی - حاره‌ای در غرب نروژ پرداخته که در آن، همبستگی برای همه فاکتورهای محیطی مشاهده شده با مراحل فنولوژیکی بسیاری از گیاهان بومی و کشت شده در آنجا، محاسبه شده است. وی در پایان، نتیجه گرفت که درجه حرارت شب، بیشترین همبستگی را با فنولوزی گیاهان ارائه می‌دهد و نقش مهمی را در دوران رویشی گیاه (همچون شکفتن جوانه‌ها در بهار) دارد و درجه حرارت روز نیز، از تأثیر مهمی در دوران زایشی گیاه (همچون گلدهی) برخوردار است و دیگر عاملهای محیطی (مانند رطوبت هوا و رطوبت خاک) نیز، وابستگی نیرومند و متفاوتی را در گونه‌های ناهمگون و حتی مراحل مختلف فنولوزی یک گونه، نشان می‌دهند. از دیگر سو، لینکوسالو و همکاران<sup>۱</sup> (۲۰۰۰) با مطالعه رسک خطر یخیندان بهار و فنولوزی گیاهان جنگلی نشان دادند که با کمک مدل مجموع درجه حرارت، می‌تواند روند نمو و دوران خواب را توضیح دهنند. در این مدل، سرعت نمو، به عنوان تابعی از درجه حرارت، از لحظه آغاز نمو تا زمان مورد نیاز، به کار بrede می‌شود. آنها همچنین نشان دادند که با گرم شدن هوا، روند تکمیل دوران خواب، نخست، اندکی پیشرفت می‌کند، ولی پس از آن تأخیر دارد و تاریخ شکفتن جوانه‌ها نیز، پیشروی می‌کند و سرعت این تغییرات، دو برابر روند تغییرات در مرحله خواب است. در پایان نیز نتیجه گرفتند، مدلهایی که تنها بر اساس دیدبانیهای فنولوزیکی است، نمی‌توانند نمایانگر واقعیت باشد و باید عاملهای بیشتری را که بر زمان مراحل فنولوزیکی تأثیر می‌گذارند، در مدلهایشان به کار گیرند.

بررسی پهنه‌بندی اقلیمی رسک سرمزدگی بهاره محصولات زراعی و باعی در مراحل مختلف فنولوزی در ایران نیز، از سوی خلیلی، در سال ۱۳۸۹ انجام گرفت. وی برای تاریخ رخدادن دماها، از شماره روزهای سال دمایی (از یکم اوت هر سال تا پایان ژوئیه سال بعد) یا TDN<sup>۲</sup> بهره‌گرفت و هر سال دمایی را در یکی از گروههای ناچیز، کم، متوسط و پرخطر قرار داد و احتمال رخداد آنها را برای هر ایستگاه محاسبه کرد. بررسیهای وی نشان می‌دهد، تابع رسک بهاره و پاییزه، بیشتر، با دماهای سیزده‌گانه (از دمای  $4/4$  + تا  $8/9$ - توصیه شده از سوی سازمان جهانی هواشناسی)<sup>۳</sup> روابط خطی تعیین‌پذیری، با طول و عرض جغرافیایی و ارتفاع دارند. هرچند که مرزبندی دقیقی در بیان درجه حرارت‌های خسارتزا در زیتون، به دلیل شرایط خاص حاکم بر وضعیت خود گیاه، بویژه مرحله رشدی و شیوه مدیریت باغ و تغذیه از یکسو و همچنین، چگونگی افت یا افزایش درجه حرارت (دماهایی با تغییرات ناگهانی) نشده است؛ ولی در این‌باره، داده‌های جدول شماره ۱، همراه با منابع پیشگفته، می‌تواند، سنجه یا ملاک محاسبات بعدی، بویژه در پیش‌بینیهای قرار گیرد.

1. Linkosalo, Carter, Hakkinen & Hari  
2. Thermal Day Number  
3. WMO



### جدول شماره ۱: دمای های بحرانی در خواب و گلدهی

سرما و یخندهان در زمان خواب			گرما در زمان گل		
ضعیف	متوسط	شدید	ضعیف	متوسط	شدید
۳۰-۳۲	۳۳-۳۵	۳۵<	(-۵)-(-۷/۹)	(-۸)-(-۱۱/۹)	-۱۲

با این همه به نظر می‌رسد، تاکنون در کشور، مطالعات پیشینی گرما در زیتون، به صورت مدلسازی انجام نشده است و یا دست کم، یافته‌های در این زمینه به دست نیامد. گفتنی است، مطالعات مدل گرمایی انجام شده از سوی دکتر کوچکی و همکاران در دانشگاه فردوسی مشهد، پیرامون زغفران، در محیطی کاملاً آزمایشگاهی صورت گرفته و متأسفانه در عمل، یافته همسانی، در داخل و یا خارج از کشور، یافت نشد. ویژگی برتر انجام چنین نمونه الگویی، ساخت مدل بر اساس داده‌های مزروعاتی است و هم‌اکنون، توصیه و تأکید داشمندان جهان نیز، به انجام چنین پژوهش‌هایی در این زمینه است که با شرایط محیطی تا حد امکان، همخوانی و تطبیق داشته باشد.

### روشها و ابزارهای پژوهش



منطقه طارم علیا در استان زنجان، یکی از مهمترین مراکز کشت و تولید زیتون در کشور بوده و ایستگاه تحقیقات زیتون گیلوان نیز، تنها ایستگاه تحقیقاتی زیتون در کشور است که مجموعه یا کلکسیونی از همه ارقام موجود در کشور را در خود، جای داده است. همانگونه که می‌دانید، در عمل، بیش از ۸۵ درصد کل زیتون کشور در مناطق روobar - طارم علیا و سفلی (استانهای گیلان، زنجان و قزوین) تولید می‌شود و از همین رو، این قطب اصلی تولید، به عنوان منطقه مورد بررسی، برگزیده شد.

مشخصات جغرافیایی منطقه اجرای طرح- گیلوان (ایستگاه تحقیقات زیتون طارم):

عرض جغرافیایی:  $۴۷^{\circ}$  و  $۳۶^{\circ}$  شمالی

طول جغرافیایی:  $۵۰^{\circ}$  و  $۴۹^{\circ}$  شرقی

ارتفاع از سطح دریا: ۳۵۰ متر

متوسط بارندگی سالانه: ۲۰۰ میلی‌متر

اقلیم: نیمه گرمسیری

در مرحله نخست، آمار دمایی هر ۳ ساعت یکبار، مربوط به نزدیکترین ایستگاه به محل مورد بررسی و دارای داده‌های سالهای آماری در خور پذیرش، از سازمان هواشناسی، گرفته شد. در این پژوهش، نزدیکترین ایستگاه به گیلوان، ایستگاه منجیل تشخیص داده شد. داده‌های

دریافتی، به صورت رایانه‌ای نوت پد<sup>۱</sup> بود و از همین‌رو، در گام نخست، به فرمت اکسل (Excel) تبدیل شد تا انجام محاسبه‌های بعدی را امکان‌پذیر سازد. با مطالعه دماهای میانگین روزانه موجود و مشاهده تطابق نداشتن دماهای دو ایستگاه مورد نظر (برایه نمودار شماره<sup>۲</sup>) دماهای گیلان، به روش گفته شده، از ایستگاه منجیل، به دست آمد:



برگرفته از: یافته‌های پژوهش

#### نمودار شماره<sup>۳</sup>: بررسی میزان تطابق دمایی مناطق منجیل و گیلان

در این راستا، برای بررسی تأثیر ارتفاع و فاصله، اطلاعات ایستگاه مجاور، به صورت جدول شماره ۲، نمایش و به کار برده شده است:

جدول شماره<sup>۴</sup>: اطلاعات ایستگاه‌های هم‌جوار محل اجرای طرح

ردیف	نام ایستگاه	ارتفاع از سطح دریا	متoscip طبقاً	متoscip سالانه
۱	آب برق	۷۰۳	۱۱/۸	۲۲/۳
۲	منجیل	۳۳۳	۱۲/۷	۲۲/۴
۳	قزوین	۱۲۷۹	۶/۹	۲۱/۴
۴	زنjan	۱۶۶۳	۴	۱۸

برگرفته از: یافته‌های پژوهش

آنگاه، با بهره‌گیری از نرم‌افزار Statgraphics ۲.۱ روابط میان ارتفاع و دما، بدست آمد که داده‌های آن در جدولهای شماره ۲، ۳ و ۴ نمایش داده شده است. سپس بر اساس متوسط دمای سالانه، حداقل و حداکثر، میانگین عددی  $0/7$  بدست آمده را از تمامی دماهای ایستگاه منجیل، کم کردیم تا داده‌های ایستگاه گیلوان از سال ۱۹۹۳ تا ۲۰۱۰ میلادی بدست آمد. بدینسان، تمامی داده‌های ساعتی گیلوان، بر حسب ایستگاه منجیل، تصحیح شدند.

جدول شماره ۳: معادلات همبستگی میان دما و ارتفاع در ایستگاه‌های مورد بررسی

$T=19.2547-.00459253H$	دما متوسط سالانه
$T=24.596-.00340511H$	دما متوسط حداکثر
$T=14.405-.00601726H$	دما متوسط حداقل

برگرفته از: یافته‌های پژوهش

جدول شماره ۴: روابط میان دماهای حداقل، حداکثر و متوسط و ارتفاع ایستگاه‌های هم‌جوار اجرای طرح

متوسط سالانه (درجه سانتی گراد)	متوسط حداکثر (درجه سانتی گراد)	متوسط حداقل (درجه سانتی گراد)
۱۲/۴	۲۳/۴۶	۱۷/۰۵
۱۱/۵۱	۲۲/۹۶	۱۷/۷۲
اختلاف متوسط سالانه	اختلاف متوسط حداکثر	اختلاف متوسط حداقل
۰/۹	۰/۵	۰/۷

برگرفته از: یافته‌های پژوهش

سپس در گام دیگر، برای تبدیل داده‌های سه ساعتی، به ساعتی، روش میانگین درون‌یابی خطی به کار رفته است؛ به دیگر سخن، مجموع ساعتهای قبلی و بعدی، تقسیم بر سه و هر ساعت یک سوم به قبلی، افزوده شده است. این روش، برای تمامی ساعتهای مورد نظر از سال ۱۹۹۳ تا سال ۲۰۱۰ با استفاده از برنامه اکسل، انجام پذیرفت. آنگاه، با در اختیار داشتن داده‌های ساعتی ایستگاه گیلوان (تصحیح و بازسازی شده) و مدل یوتا، میزان واحدهای گرمایی و سرمایی ساعتی در هر ساعت جداگانه از یکم ژانویه تا آخر دسامبر، محاسبه می‌شود.

### آزمون کفايت داده‌ها

این آزمون، بر اساس فرمول مشهور ماکوس<sup>۱</sup> که به صورت:  $Y=(4.3t^*\log R)^{2+6}$  است و



داده‌های دوره بازگشت ۲ و ۱۰۰ ساله با درجه آزادی ۳ و در سطح ۹۰ درصد، انجام شد. که در آن، Y: حداقل سالهای آماری مورد پذیرش t: آماره جدول t در سطح معنیداری ۰.۹ درصد و درجه آزادی ۶-y.

R: نسبت متغیر مورد نظر در دوره بازگشت صد ساله به دوره بازگشت دو ساله است.

جدول شماره ۵: محاسبه حداقل سالهای آماری مورد پذیرش نخستین گرمای بهاره

پارامترها	ضعیف	متوسط	شدید
Tr100	۱۵۳/۵۶۹	۲۳۴/۷۰۴	۲۵۳/۵۲۳
Tr2	۱۰۵/۷۹۹	۱۳۴/۵۱۷	۱۵۵/۱۵۸
R	۱/۴۵۲	۱/۷۴۵	۱/۳۶۴
t(df=3,90%)	۱/۲۵۳	۲/۳۵۳	۲/۳۵۳
Y	۹	۱۲	۱۱

برگرفته از: یافته‌های پژوهش



هدف از به کار بردن این روش (جدول شماره ۵)، تعیین این نکته است که آیا تعداد داده‌های مورد استفاده در محاسبه‌های مربوط به احتمالات؛ بسنده است (کفايت می‌کند) و یا اينکه به داده‌های بيشتری نياز است؟ برای اين منظور، از فرمول ماکوس استفاده شده است. برایه محاسبه‌های انجام گرفته، برای اطمینان از نتایج پژوهش، نياز به برخورداری از حداقل داده‌های ۹ سال برای شدت ضعیف و ۱۲ سال برای شدت متوسط و ۱۱ سال برای سطح شدید، بوده و داده‌های به کار رفته برای هر يك از سطوح نيز، ۱۸ سال بوده است؛ بنابراین امكان محاسبه‌های داده‌ها برای به کار گرفتن در پيشбинی گرما وجود دارد. با بهره‌گيری از اطلاعات دماهای خسارتزا در زيتون (جدول شماره ۱) که در دو مسیر سرما و یخيندان (دربردارنده مراحل خواب گياه - با توجه به اقليم منطقه) و گرما در زمان گل (تاریخهای تمام گل ارقام مختلف) و برمبنای روزهای ژوليويی از يکم ژانويه است، دماهای بحراني مورد بررسی قرار گرفت. از همين‌رو، نخستین روز رخدادن اين دما به عنوان شماره روز مورد نظر، به ثبت رسيد. سپس، با در اختیار داشتن روزهای ژوليويی در ۳ سطح با شدت‌های ضعیف، متوسط، شدید و با بهره‌گيری از نرم‌افزارهای Easy Fit و Mini Tab، اقدام به پيشбинی رخداد پديده، براساس داده‌های آماری از سال ۱۹۹۲ تا ۲۰۱۰ در منطقه طارم شد. برای انتخاب توزيع مناسب سری شماره روزها برای هر يك از انواع گرما نيز، روش زير، به کار رفت:

برای تعیین تاریخ نخستین گرمای زودرس بهاره (هر سه شدت) برای هرسال و استخراج

روزهای مربوط به گرما، در نرمافزار Easy Fit توزیع را که دارای حداقل ضربی کلموگوف اسمیرنوف (تطابق توزیع داده‌ها – نکویی برازش داده‌ها) باشد، به عنوان مناسب‌ترین توزیع در نظر گرفته خواهد شد. با کپی کردن شماره روزهای هریک از سریهای گرما (۳ سطح مختلف) در نرمافزار Mini Tab (با در نظر گرفتن نوع توزیع چگالی به دست آمده از نرمافزار Easy Fit) و در آن صورت مقدار متغیر (شماره روز) در دوره بازگشت دو ساله و صد ساله، به دست می‌آید که در محاسبات حداقل سالهای آماری به کار رفت و برای بررسی حدود اطمینان مناسب‌ترین توزیع، از نرمافزار Mini Tab به شرح پیشگفته، بهره گرفته شد. برای تأیید روایی مدل نیز، تطابق داده‌های مدل بر اساس نرمافزارهای جداگانه Fit Easy و Mini Tab به کار رفت که در عمل، حدود اطمینان به دست آمده، یکسان بود. در این زمینه، یافته‌های پژوهش، با نمودار شماره ۲ و اطلاعات خسارت گرمایشی که به پرداخت غرامت انجامیده است (اطلاعات میدانی)، همخوانی یا تطابق کامل داشت.

## یافته‌های پژوهش و بحث

در این پژوهش، برای پیشینی کردن احتمال رخداد خسارت گرما، چهار رقم عمده زیتون (زرد، روغنی، آربیکین و کرونوایکی) انتخاب شدند و مورد بررسی قرار گرفتند. نتایج به دست آمده نشان می‌دهد که تاریخهای تمام‌گل آنها به ترتیب: ۲۲، ۲۴، ۲۳ و ۲۵ اردیبهشت ۱۳۹۰ بوده و از همین‌رو، تاریخهای ژولیوسی به ترتیب ۱۳۳، ۱۳۴، ۱۳۵ و ۱۳۶ را به خود اختصاص داده‌اند. با مشخص شدن شماره روز نخستین سرما و یخبدان (دماهی حداقل) از یکم ژانویه هر سال در هر سطح مورد نظر، شماره‌ای را به خود اختصاص می‌دهد. داده‌های جدول شماره ۶ نشان می‌دهد، در سال ۱۳۹۳ در روز ۴۸ ژولیوسی، سرما و یخبدان با شدت ضعیف رخ داده، در حالی که در سطوح متوسط و شدید، هیچ دمایی به ثبت نرسیده است. در سالهای ۲۰۰۷ و ۲۰۰۸ به ترتیب در روزهای ۳ و ۹ ژولیوسی، دماهی‌ای با شدت ضعیف روي داده و در دیگر سالها، هیچ سرمایی که بتواند برای زیتون در منطقه طارم خسارتزا باشد، روى نداده است. همانگونه که از داده‌های جدول شماره ۷ نمایان است، به دلیل بستن بودن (کفایت نداشتن) داده‌های آماری، از انجام پیشینی در زمینه سرما و یخبدان با شدت‌های مختلف، چشمپوشی شده است. در عمل، با بررسی وضعیت بیمه‌ای زیتون در منطقه طارم، اهمیت بررسی گرما، آشکارا نمایان می‌شود. بنابراین به دلیل بستن بودن یا (کفایت نداشتن) داده‌های سرمایی (جدول شماره ۶) مطالعه و بررسی پارامتر گرما صورت گرفت. از این‌رو می‌توان گفت، مهم‌ترین عامل خطر رخداده برای زیتون در منطقه با ۶۸ درصد سهم از عامل خطر سرما، پدیده گرما و باد گرم در زمان تلقیح زیتون است (نمودار شماره ۲). این داده‌ها نیز، با پرداخت غرامت بیمه‌ای برای عامل خطر گرما، همخوانی یا تطابق دارد.



## جدول شماره ۶: شماره روز نخستین یخبندان زودرس پاییزه

در دوره ۱۹۹۳-۲۰۱۱ - مبنایکم ژانویه

سال	ضعیف	متوسط	شدید	ردیف
۱۹۹۳	۴۸	-	-	۱
۱۹۹۴	-	-	-	۲
۱۹۹۵	-	-	-	۳
۱۹۹۶	-	-	-	۴
۱۹۹۷	-	-	-	۵
۱۹۹۸	-	-	-	۶
۱۹۹۹	-	-	-	۷
۲۰۰۰	-	-	-	۸
۲۰۰۱	-	-	-	۹
۲۰۰۲	-	-	-	۱۰
۲۰۰۳	-	-	-	۱۱
۲۰۰۴	-	-	-	۱۲
۲۰۰۵	-	-	-	۱۳
۲۰۰۶	-	-	-	۱۴
۲۰۰۷	۳	-	-	۱۵
۲۰۰۸	۹	-	-	۱۶
۲۰۰۹	-	-	-	۱۷
۲۰۱۰	-	-	-	۱۸
۲۰۱۱	۲۱	-	-	۱۹

برگرفته از: یافته های پژوهش

چنانکه داده های جدولهای شماره ۶ و ۷ نشان می دهد، برای مشخص کردن شماره نخستین روزی که دماهی خسار ترا بر مبنای جدول شماره ۱، استخراج شده و سنجه یا ملاک محاسبات قرار گرفته است تا سیستمهای نرم افزاری بتوانند، داده ها را تشخیص دهند.

طراحی و پیاریزی مدل پیشینی احتمال رخداد خسارت...

## جدول شماره ۷: شماره روز نخستین گرمای زودرس بیماره در دوره ۱۹۹۳ تا ۲۰۱۱ - مبتدا یکم ژانویه

ردیف	شدید	متوسط	ضعیف	سال
۱	۱۱۰	۱۷۸	۱۰۹	۱۹۹۳
۲	-	۱۱۳	۱۱۲	۱۹۹۴
۳	۱۷۲	۱۸۰	۹۳	۱۹۹۵
۴	۱۳۷	۱۳۶	۱۳۹	۱۹۹۶
۵	۱۵۲	۱۱۵	۱۱۶	۱۹۹۷
۶	۱۷۳	۱۰۴	۱۰۶	۱۹۹۸
۷	۲۱۴	۲۱۳	۱۰۴	۱۹۹۹
۸	۱۸۹	۱۲۴	۱۰۵	۲۰۰۰
۹	۲۰۹	۱۳۶	۱۱۶	۲۰۰۱
۱۰	۱۹۴	۱۵۲	۸۶	۲۰۰۲
۱۱	۹۷	۱۰۰	۱۱۶	۲۰۰۳
۱۲	۱۲۲	۱۳۱	۶۵	۲۰۰۴
۱۳	۱۶۴	۱۸۶	۱۰۵	۲۰۰۵
۱۴	۲۲۱	۱۴۹	۱۰۵	۲۰۰۶
۱۵	۱۳۰	۱۴۷	۱۲۳	۲۰۰۷
۱۶	۱۱۵	۸۵	۷۰	۲۰۰۸
۱۷	۱۴۳	۱۶۶	۱۲۷	۲۰۰۹
۱۸	۱۰۶	۷۳	۷۵	۲۰۱۰
۱۹	۱۳۴	۱۲۷	۱۰۸	۲۰۱۱

## برگرفته از: پافته‌های پژوهش

در این محاسبه‌ها، از میان معروفترین توابع، در سری گرمایی ضعیف، نوع توزیع چگالی logistic و در گرمایی متوسط و شدید، نوع gama، مناسبت‌ترین نوع توزیع، تشخیص داده شد.



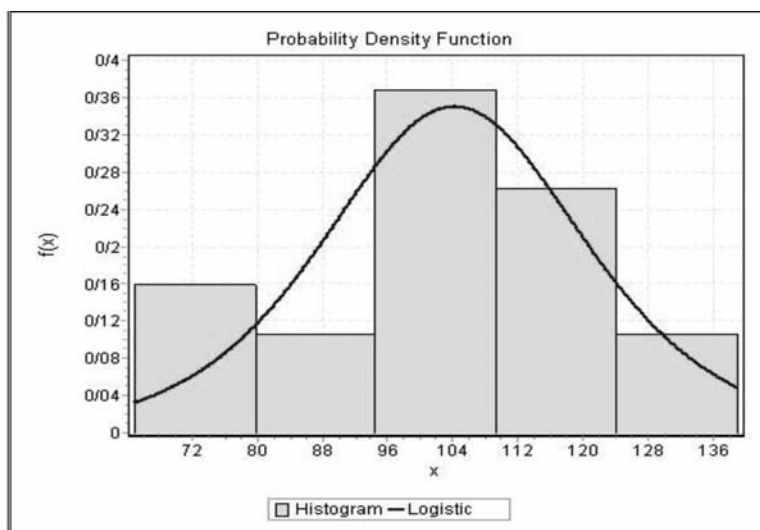
از این روش، نمودارهای توزیع چگالی احتمال و توزیع احتمال جمعی، به دست می‌آید  
 (جدول شماره ۸).

جدول شماره ۸ ضریب K.S (کولموگوروف - اسمیرنوف)  
 به دست آمده از نرم افزار Easy Fit

نوع توزیع چگالی	ضعیف	متوسط	شدید
Normal	۰/۲۳۲۴	۰/۰۹۶۹	۰/۱۰۳۶
Lognormal	۰/۲۶۹۳	۰/۰۸۱۲	۰/۰۹۱۶
3-parameter lognormal	۰/۲۳۶۷	۰/۰۸۲	۰/۰۹۱۲
Gama	۰/۲۵۶۹	۰/۰۷۶۲۹	۰/۰۸۶۱
3-parameter gama	۰/۲۴۶۵	۰/۰۸۱۱	۰/۰۹۰۴
Exponential	۰/۴۶۴	۰/۴۱۱۶	۰/۴۵۹
2-parameter exponential	۰/۳۶۶۹	۰/۲۵-۹	۰/۲۵۱۷
Weibull	۰/۲۴۵۵	۰/۱۰۴۳	۰/۱۰۳۵
3-parameter weibull	۰/۱۹۳۷	۰/۰۷۷۵	۰/۰۸۶۶
Logistic	۰/۲۳۱۸	۰/۰۹۹۳	۰/۱۲۵۶
log logistic	۰/۲۹۶۷	۰/۱۲۱۳	۰/۱۰۸۵
3-parameter log logistic	۰/۱۹۰۱	۰/۰۸۴۴	۰/۰۹۳

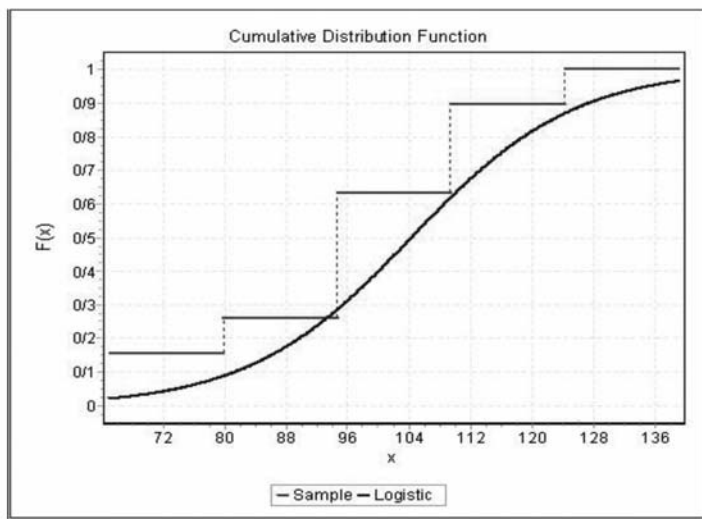
برگرفته از: یافته های پژوهش

با بهره‌گیری از نرم افزار Easy Fit در رقم کرونائیکی معادل روز ۱۳۳ زولیوسی نمودار توزیع چگالی احتمال و نمودار توزیع احتمال جمعی (توزیع لجستیک) در سطح شدت ضعیف، برپایه نمودارهای شماره های ۴ و ۵ است:



برگرفته از: یافته های پژوهش

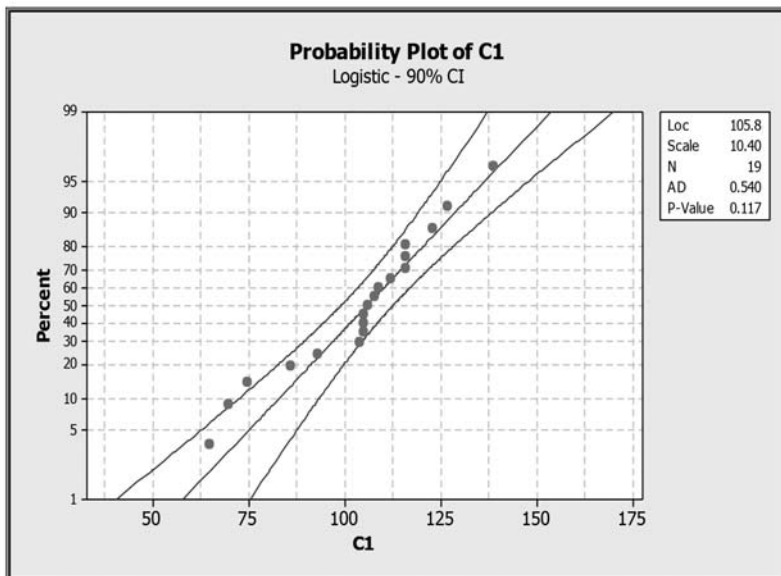
نمودار شماره ۴: نمودار توزیع نرمال نخستین گرمای بهاره بر اساس آزمون K.S ایستگاه گیلان  
از سال ۱۹۹۳ تا ۲۰۱۰ (سطح گرمای ضعیف)



برگرفته از: یافته های پژوهش

نمودار شماره ۵: تابع توزیع تجمعی در همان سطح

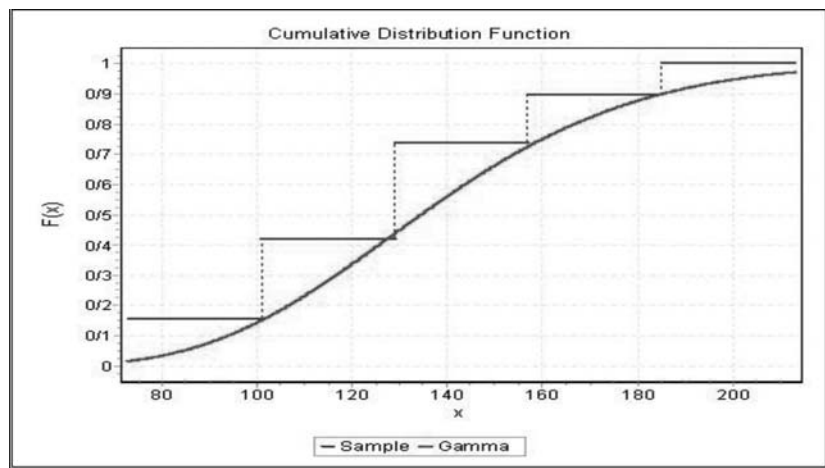
همانگونه که در نمودار شماره ۶ (مدل برآورد) مشخص شده، در روز ۱۳۳ ژولیوسی که مصادف با تمام‌گل رقم کرونائیکی (۲۲ اردیبهشت ۹۰) است؛ احتمال رخدادن عامل خطر گرما در سطح شدت ضعیف ۹۳/۸ درصد خواهد بود. بدینهی است، دوره بازگشت چنین گرمایی با این سطح احتمال رخدادن، ضربدر معادل ۱/۱ سال خواهد بود. نمودار احتمال رخدادن داده‌ها در سطح ضعیف با نرم‌افزار Tab Mini با داده‌های احتمال رخدادن نرم‌افزار Easy Fit یکسان است.



برگرفته از: یافته‌های پژوهش

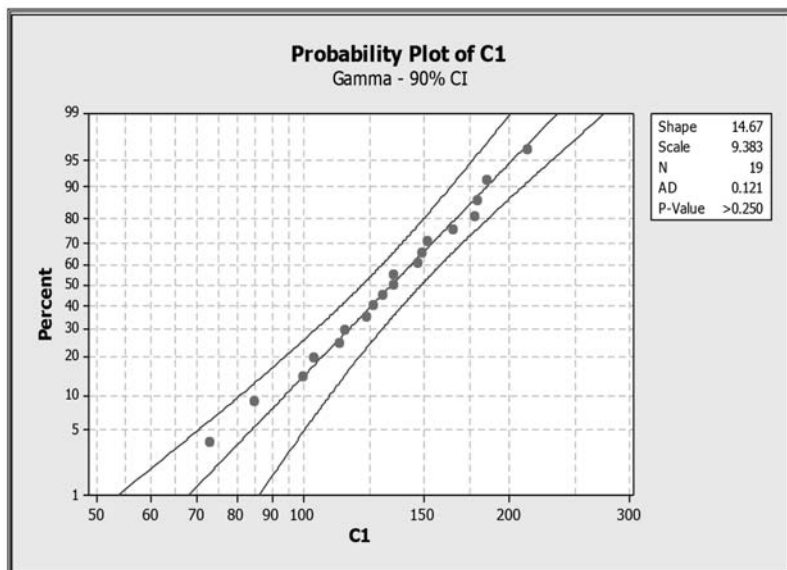
#### نمودار شماره ۶: مدل برآورد احتمال رخدادن گرما در سطح شدت ضعیف

در رقم کرونائیکی احتمال رخدادن خسارت گرمایزدگی با شدت متوسط نمودار توزیع چگالی احتمال و نمودار توزیع احتمال تجمعی (توزیع گاما) طبق نمودار شماره ۷ است:



برگرفته از: یافته های پژوهش

### نمودار شماره ۷: تابع توزیع تجمعی در همان سطح



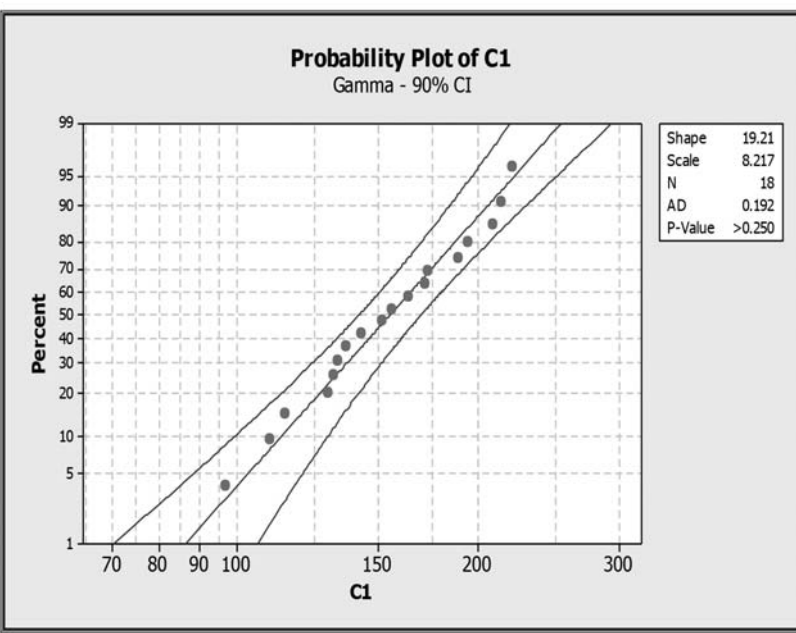
برگرفته از: یافته های پژوهش

### نمودار شماره ۸: مدل برآورد احتمال رخدادن گرما در سطح متوسط

چنانکه در نمودار شماره ۸ نمایان شده، در روز ۱۳۳ ژولیوسی که مصادف با تمام‌گل رقم کرونائیکی (۲۲ اردیبهشت ۹۰) است؛ احتمال رویدادن عامل خطر گرما در سطح متوسط، برابر ۴۸/۴ درصد خواهد بود. بدیهی است، دوره بازگشت چنین گرمایی با این سطح احتمال، برابر عکس احتمال رخدادن، ضربدر ۱۰۰ است که در این شرایط، معادل ۲/۱ سال (یا ۶۶ روز) خواهد بود.

گفتنی است، نمودار احتمال رخدادن (وقوع) داده‌ها در سطح متوسط نیز، با نرم‌افزار Mini TAB با داده‌های احتمال نرم‌افزار Easy Fit یکسان است.

همانگونه که در نمودار شماره ۹ نمایان شده، در روز ۱۳۳ ژولیوسی که مصادف با تمام‌گل رقم کرونائیکی (۲۲ اردیبهشت ۹۰) است؛ احتمال رخداد عامل خطر گرما در سطح شدید، برابر با ۲۶/۲ درصد خواهد بود. بدیهی است، دوره بازگشت چنین گرمایی با این سطح احتمال، برابر عکس احتمال رخدادن (وقوع)، ضربدر ۱۰۰ است که در این شرایط، معادل ۳/۸ سال خواهد بود. همچنین، نمودار احتمال رخدادن داده‌ها در سطح شدید با نرم‌افزار Mini TAB با داده‌های احتمال نرم‌افزار Easy Fit یکسان است.

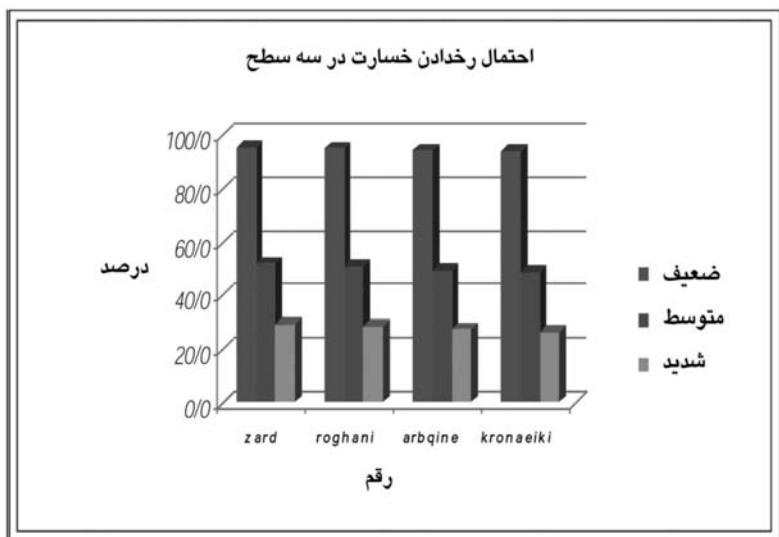


برگرفته از: یافته‌های پژوهش

نمودار شماره ۹: مدل برآورد احتمال رخدادن گرما در سطح شدید



آنچه باعث تغییر در داده‌ها می‌شود، با نرمافزار (Easy Fit) تفاوت در روز ژولیوسی (زمان تمام‌گل) هر رقم با رقم دیگر است. در رقم آربکین، روز ۱۳۴ ژولیوسی نمودار توزیع چگالی احتمال و نمودار توزیع احتمال تجمعی (توزیع لجستیک و گاما) در سه سطح با شدت‌های ضعیف و متوسط و شدید، همانند یافته‌های بالا بوده و تغییر درصد احتمال رخداد خسارت گرمازدگی، به دلیل اختلاف در تاریخ تمام‌گل ارقام است (نمودار شماره ۱۰). با جمعبندی مطالب پیشگفته پیرامون احتمال رخداد خسارت گرمازدگی و دوره بازگشت آن در ۴ رقم عمدۀ انتخابی، یافته‌ها به صورت جدول شماره ۹ ارائه شده است.



برگرفته از: یافته‌های پژوهش

#### نمودار شماره ۱۰: احتمال رخدادن خسارت در ارقام مورد بررسی با توجه به زمانهای تمام‌گل آنها

همچنین، بیشترین احتمال رخدادن خسارت مربوط به رقم زرد با شدت ضعیف و دوره بازگشت هرساله معادل  $\frac{3}{95}$  درصد و کمترین احتمال رخدادن خسارت گرمازدگی مربوط به رقم کرونائیکی در سطح شدید و دوره بازگشت هر  $\frac{8}{3}$  سال یکبار معادل  $\frac{2}{26}$  درصد است. از این رو می‌توان چنین برداشت کرد که هر یک روز اختلاف در زمان تمام‌گل، معادل حدود یک درصد، احتمال رخداد خسارت را تغییر می‌دهد (جدول شماره ۹).

## جدول شماره ۹: درصد احتمال رخداد گرما و دوره بازگشت آن

ردیف	نام رقم	تاریخ تمام گل	روز ژولیوسی	احتمال رخداد خسارت گرما		دوره برگشت		شيد	متوسط	ضعيف
				شيد	متوسط	ضعيف	شيد			
۱	zard	۱۳۹۰/۲/۲۵	۱۳۶	۲۹/۳	۵۱/۷	۹۵/۳	۱/۹	۱/۰	۲۹/۴	۰
۲	roghani	۱۳۹۰/۲/۲۴	۱۳۵	۲۸/۲	۵۰/۶	۹۴/۸	۲/۰	۱/۱	۲۸/۲	۰
۳	arbqine	۱۳۹۰/۲/۲۳	۱۲۴	۲۷/۲	۴۹/۵	۹۴/۴	۲/۰	۱/۱	۲۷/۲	۰
۴	kronaeiki	۱۳۹۰/۲/۲۲	۱۲۳	۲۶/۲	۴۸/۴	۹۳/۸	۲/۱	۱/۱	۲۶/۲	۰

برگرفته از: یافته های پژوهش

این یافته، همچنین نشان می دهد که هر چه روزهای ژولیوسی، افزایش می یابد و یا به دیگر سخن، هرچه به سوی گرما پیش برویم، احتمال رخدادن خسارت (با تطابق روزهای تمام گل) در هر سه سطح، افزایش خواهد یافت و از دیگر سو، به دلیل داشتن نسبت عکس با دوره بازگشت به همان نسبت، دوره بازگشت کمتر خواهد شد. به سخن دیگر، احتمال رویدادن خسارت شدیدتر (با دوره بازگشت) کمتر خواهد بود. براساس یافته های این پژوهش و با توجه به خصوصیت های هر رقم، بویژه تاریخ های تمام گل، باید افزون بر مطالعه و بررسی این گونه خصوصیت ها، شرایط اقلیمی منطقه و دوره بازگشت عوامل خطر نیز، محاسبه، و سپس امکان توسعه درختان زیتون توصیه شود. به سخن دیگر، همان گونه که هدف این پژوهش نیز بوده است، مطالعات دقیق و گستردگ، سرانجام به حفظ و افزایش تولید زیتون با هدف تولید اقتصادی از سوی باغدار، خواهد انجامید. با توجه به بررسی های انجام شده در منابع داخلی و خارجی، هچ گونه پیشینه پژوهش انجام یافته ای در این باره، بدست نیامد. از همین رو، این کار آغاز و گام تازه ای برای انجام تحقیقات در این زمینه به شمار می رود. امید است، این پژوهش ناجیز بتواند، دریچه ای رو به سوی اینده تحقیقات در این راستا، بگشاید.

## نتیجه گیری و پیشنهاد

با توجه به یافته های برگرفته از این پژوهش و نتایج نخستین باری که به صورت میدانی، احتمال رخدادن خسارت را پیش بینی می کند؛ می توان این مدل را برای سرما و یخ بندان و گرما (۳ پارامتر دمایی خسارت زای اصلی در محصولات زراعی و باغی کشور) و در همه محصولات زراعی و باغی (البته با توجه شرایط خاص فنلولوژی و فیزیولوژی هر محصول) و در تمام نقاط موردنظر (پیشینه دمایی درازمدت) اجرا کرد. برای آسان شدن کار برای کاربران دارای دانش عمومی، و امکان گرفتن خروجی ساده تر و آسان تر که نیاز به انجام محاسبه های پرشمار و





گوناگون نداشته باشد؛ می‌توان با همکاری شرکتهای معابر فناوری اطلاعات، به این مدل، توانایی اجرای تحت وب را نیز افزود. البته این کار، نیاز به سرمایه‌گذاری مناسب در این زمینه دارد. همچنین، این مدل، کاربردهای گوناگونی در زمینه‌های تنظیم بازار میوه و واردات محصولات کشاورزی، ستاد حوادث غیرمترقبه وزارت کشور، صندوق بیمه کشاورزی و فعالان اقتصادی در بخش خصوصی کشاورزی دارد و هم‌اکنون نیز، این مدل، مراحل ثبت اختراع را طی می‌کند.

## منابع:

۱. اوحدی، د. (۱۳۸۴). «بررسی کمی خطر سرمایدگی در مراحل مختلف فنولوژی محصولات باقی ( مطالعه موردهی محقق) سبب در مناطق سپید، کرج ، گلستان»، پایان نامه کارشناسی ارشد هواشناسی کشاورزی، دانشگاه تهران.
۲. بنام، آثار بیمه کشاورزی (۱۳۹۱)، کروه خدمات مدیریت و برنامه بریزی، صندوق بیمه کشاورزی.
۳. خلیلی، ع. (۱۳۸۹)، پیشنهاد نایابه جدید و گسترش یک مدل برای ارزیابی کمی ریسک سرمایدگی بهاره محصولات زراعی و باقی در ایران، مجموعه مقالات ارائه شده در اولین کنفرانس بین المللی مداسازی کیا، آب، خاک و هوا. مرکز بین المللی علم و تکنولوژی پیشرفت و علم محیطی، دانشگاه شهید بهشتی کرمان.
۴. سلیمانی، ع. (۱۳۸۱)، «بررسی مقدماتی مقاومت به سرما در برخی ارقام زیتون محلی و خارجی»، پایان نامه کارشناسی ارشد رشته علوم غذایی دانشکده کشاورزی دانشگاه تهران.
۵. غربی، خ. (۱۳۹۱)، «بررسی فنولوژی گلدهی و احتمال و قرع خسارت در زیتون (Olea europaea L.) بر مبنای پارامترهای دمایی»، پایان نامه کارشناسی ارشد بالغانی - میوه کاری، دانشکده کشاورزی دانشگاه آزاد اسلامی کرج.
۶. قهرمان، ن. (۱۳۸۹)، محاسبات احتمال و قرع اولین یخیندان زودرس پاییزه و آخرین یخیندان دیرزین بهاره کارگاه آموزشی هواشناسی کشاورزی، صندوق بیمه کشاورزی.
۷. محمدی، ح. زیناللو، ا. روشن، ع. (۱۳۸۷)، «مدل سازی سازگاری دمایی زیتون در ایران»، پژوهش‌پایی چهارمیابی، شماره ۶۴، صفحه ۵۱-۳۷.
۸. میرمحمدی بیدی، محمد، ع. (۱۳۸۲) مدیریت تنفس سرما و یخزدگی گیاهان زراعی و باقی، انتشارات جهاد دانشگاهی واحد صنعتی اصفهان.
9. Fernandez – Escobar , R.,Gomez-Valledor,G., and RALLO,L.(1983) “Influence of Pistil Extract and Temperature on In Vitro Pollen Germination and Pollen Tube Growth of Olive Cultivars” . *Hort Science* .58:219-227.
10. <http://www.weather.ir>.
11. Linkosalo, T., T.R. Carter, R. Hakkinen and P. Hari. (2000). “Predicting Spring Phenology and Frost Damage Risk of *Betula* spp. Under Climatic Warming: a Comparison of Two Models” . *Tree Physiology*.20:1175–1182.
12. Mancuso, S- Azzarello, E- (2002). “Heat Tolerance in Olive” -*Adv.Hort. Sci.*,16(3-4):125-130.
13. Michalska, B. (1986). “Suggested Terms of Corn Sowing in the main Yield in Poland Depended on Soil Temperature and Frosts” . *Agrotechniczna* (Poland).106 ; 97 -102.
14. Therios,Ioannis –Olives (2009)-Crop production Science in Horticulture18
15. Wielgolaski, F.E. (1999). “Starting Dates and Basic Temperatures in Phonological Observations of Plants” . *Int J Biometeorol* 42:158–168.



## Designing & Establishing of Prediction Modeling for Probability of Heat Causing Damages in Olive Orchard

## **Case Study: Tarom Olya Region**

Kh. Gharibi\*, Dr. A.A. Zeinanlou\*\* & H. Karimi\*\*\*

### Abstract

Heat damage in olive orchard causes yield loss and prediction occurrence time of heat damage phenomenon, knowing of regions & suitable varieties and ultimately assurance of production will be achieved. In this regard, by using meteorological data and determination of first Julian (Julius) day of damage causing temperatures at flowering stage, damage occurring probability could be calculated. In order to predict heat damage occurring probability, four main Olive variety including Zard, Roghani, Arbkin and Kronaiki were selected and evaluated over 19 temperature statistic years in Tarom Olya Region of Zanjan province (the main area of olive cultivation). Results showed that flowering date of all Olive varieties set to Julian dates of 133, 134, 135 and 136, respectively. By using Easy Fit and Minitab soft wares the most damage occurring probability was related to Zard variety with weak intensity and annual return period of 95.3% and lowest heat causing occurring probability was related to Kronaiki with great intensity and 3.8 years return period of 26.2%. It could be stated that one day difference at full flowering stage change the one percent of damage occurring probability. Results also showed that as Julian days increased, in the other word we went on warm days, and damage causing probability (according by full flowering days) would be increased at all three levels, more intensive damage causing probability would be lower. Thus, with regard to properties of each variety, especially full flowering dates, in addition to study of this species, region climatic characteristics and return period of risk factors in insurance must be calculated and then possibility of expansion of Olive trees is recommended.

**Keywords:**

**Keywords:** Olive, Full Flowering, Heat Damage, Prediction, Modeling, Insurance.



\* M.Sc in Horticulture, Department of Research & Marketing Agricultural Insurance Fund.  
E-mail: kgh321@gmail.com

\*\* Faculty Member of Karaj of Seed and Plant Improvement Institute, Iran

\*\*\* Manager of Dept. of Research & Marketing of Agriculture Insurance Fund, Iran.